

3D-ПЕЧАТЬ МАЛОУСАДОЧНЫХ АЛЮМОСИЛИКАТНЫХ ОГНЕУПОРОВ НА ОСНОВЕ ВЯЖУЩЕЙ СУСПЕНЗИИ КВАРЦЕВОГО СТЕКЛА

A.V. МЕЖЕНИН¹

¹Национальный исследовательский Томский политехнический университет
E-mail: avm106@tpu.ru

Высокоглиноземистые алюмосиликатные огнеупоры на основе муллита $3\text{Al}_2\text{O}_3 \cdot 2\text{SiO}_2$ и корунда Al_2O_3 широко распространены в промышленности благодаря доступности исходного сырья и сравнительно высокими показателями огнеупорности, термостойкости, прочности и химической стойкости [1]. Актуальными являются исследования, посвящённые 3D-печати данных материалов методом Direct Ink Writing (DIW), который основан на экструзии пластичной массы печатающей головкой, движущейся по заданным в цифровом виде траекториям [2–5]. Известные материалы для печати основаны либо на смесях на основе глин и каолинов [2, 3], либо на водных супензиях с добавками полимерных или неорганических связующих [4, 5]. К числу недостатков этих материалов относятся наличие компонентов-плавней (CaO , Na_2O , P_2O_5 , Fe_2O_3 и других), снижающих эксплуатационные свойства изделий, и достаточно высокая усадка (до 20 %) печатных масс.

Альтернативный разрабатываемый подход для 3D-печати алюмосиликатных огнеупоров заключается в использовании композиций на основе электрокорунда и высококонцентрированной вяжущей супензии (ВКС) кварцевого стекла, которые отличаются наличием вяжущих свойств и высокой текучестью при высокой концентрации твёрдой фазы (более 80 % мас.). Вибролитьём данных композиций с содержанием Al_2O_3 (~ 250 мкм) 44 – 49 % в силиконовые формы ранее были получены пористые керамические огнеупоры, не уступающие по свойствам промышленным аналогам и отличающиеся общей усадкой при сушке и обжиге менее 5 % [6]. Однако применение данных материалов для 3D-печати затруднено вследствие их неудовлетворительных реологических характеристик (предел текучести менее 1 Па, дилатантный характер течения) [7], что требует дополнительной коррекции их составов, например, за счёт использования полимерных пластификаторов. Актуальность текущих исследований обусловлена необходимостью улучшения печатных свойств композиций из ВКС кварцевого стекла с электрокорундом с целью разработки технологии 3D-печати алюмосиликатных огнеупоров на их основе.

В работе использовались водные супензии кварцевого стекла (трубы кварцевые ТК, > 99,95 % SiO_2) с влажностью 20 %, полученные по методике, изложенной в [6, 7]. В качестве наполнителей использовались электрокорунд марки 25А зернистости F150 (~ 75 мкм) и F1200 (~ 3 мкм), взятые в соотношении 9:1 по массе, и магнезиальная шпинель (синтез из MgCO_3 и Al_2O_3 с добавкой 1 % TiO_2 при 1600 °C, фракция 80 – 125 мкм). В качестве модифицирующих добавок применялись полиэтиленгликоль (ПЭГ-400), гидроксипропилметилцеллюлоза (НРМС 20000) и пирогенный SiO_2 (ХYSIL 300).

Исследование свойств материалов проводилось на кубических образцах размером 10×10×10 мм, полученных литьём ВКС кварцевого стекла с введёнными наполнителями в силиконовые формы. Реологические характеристики композиций определялись на ротационном вискозиметре RVDV-II+ Pro (Brookfield, США) с использованием степенной модели Гершеля-Балкли (1), в которой индекс поведения потока n определяет ньютоновский ($n = 1$), дилатантный ($n > 1$) или псевдопластичный ($n < 1$) характер течения, а коэффициент консистенции K характеризует кажущуюся вязкость неньютоновской жидкости.

$$\tau = \tau_0 + K\gamma^n \quad (1)$$

где τ – напряжение сдвига, Па; τ_0 – предел текучести, Па; K – коэффициент консистенции, Па·с ^{n} ; γ – скорость сдвига, с⁻¹; n – индекс поведения потока [8].

Для печати композиций был использован 3D-принтер оригинальной конструкции с подвижным в трёх измерениях столиком и неподвижной печатающей головкой, которая

состоит из поршня, приводимого в движение за счет шагового двигателя, и цилиндрического шприца с рабочим объёмом до 250 см³ со сменным соплом с углом конуса 20°.

Полученные вибролитьём из наполненных ВКБС кварцевого стекла материалы характеризуются максимальным содержанием Al₂O₃ до 55,6 % и после обжига при 1400–1600 °C сложены в основном фазами кристобалита, образовавшегося при кристаллизации кварцевого стекла, и корунда. При температурах 1500–1600 °C на поверхности зёрен Al₂O₃ наблюдается образование муллита 3Al₂O₃·2SiO₂, который при 1590 °C образует эвтектический расплав с кристобалитом состава 94,5 % SiO₂, 5,5 % Al₂O₃. Открытая пористость полученных композитов до обжига составляет 15 % при кажущейся плотности 2,3–2,4 г/см³ и прочности при сжатии 9–10 МПа. Материалы спекаются до пористости 0,5–1,5 % и кажущейся плотности 2,6 г/см³ при температуре обжига 1600 °C, их общая усадка не превышает 2–4 %. Замена до 9 % электрокорунда шпинелью MgAl₂O₄ при обжиге приводит к синтезу кордиерита 2MgO·2Al₂O₃·5SiO₂, который обеспечивает образование жидкой фазы за счёт плавления эвтектической смеси с кристобалитом при температуре 1440 °C. Это приводит к улучшению спекания материалов, увеличению их прочности при сжатии при нормальных условиях с 70–80 МПа до 90–100 МПа и повышению выхода муллита за счёт его кристаллизации из расплава MgO-Al₂O₃-SiO₂.

Исходная ВКБС кварцевого стекла представляет собой нелинейно-вязкопластичную жидкость ($n = 0,7$) с пределом текучести порядка 0,7 Па. При введении в неё электрокорунда в количестве более 30 % полученная композиция приобретает дилатантный характер течения ($n = 1,1 – 1,3$), при этом её вязкость ($K < 2 \text{ Па}\cdot\text{с}^n$) и предел текучести (порядка 0,5 Па) остаются достаточно низкими. Дилатансия композиций резко усиливается ($n > 1,5$) при введении MgAl₂O₄, что обусловлено уменьшением количества свободной воды суспензии за счёт повышения её pH и адсорбции воды пористой поверхностью частиц шпинели. Улучшению свойств композиций способствует введение в них распространённых в технологии 3D-печати водорастворимых полимерных добавок, таких как ПЭГ и НРМС, обладающих пластифицирующими и водоудерживающими свойствами [8]. Установлено, что композиция, содержащая 67,7 % ВКБС, 5,1 % ПЭГ-400, 0,2 % НРМС 20000 и 27 % Al₂O₃ является псевдопластичной ($n = 0,8$), имеет предел текучести 25 Па и коэффициент консистенции 25 Па·сⁿ, что, однако, недостаточно для эффективного сохранения формы и стабильного потока материалов при печати.

Значительное улучшение печатных свойств композиций достигается при использовании комплексного водно-полимерного пластификатора (ВПП) на основе раствора из ПЭГ-400, НРМС 20000 и XYSIL 300 в качестве стабилизатора и загустителя (соотношение компонентов 10:1:1 по массе, влажность пластификатора 75 %). Для более равномерного распределения полимерных добавок приготовление ВПП производится отдельно, после чего готовый пластификатор смешивается с ВКБС кварцевого стекла до образования однородной суспензии, в которую впоследствии вводится электрокорунд. Оптимальное соотношение ВКБС к ВПП составляет приблизительно 70:30, увеличение количества пластификатора является нерациональным, поскольку полимерные добавки ингибируют вяжущие свойства суспензии. Использование ВПП позволяет значительно увеличить возможное содержание Al₂O₃ в печатной массе (до 64–68 %) и обеспечить необходимые для 3D-печати реологические характеристики композиции ($n = 0,2–0,3$, $K = 120–250 \text{ Па}\cdot\text{с}^n$).

Определение параметров 3D-печати проводилось с использованием композиции состава 65 % Al₂O₃, 24,5 % ВКБС и 10,5 % ВПП (содержание твёрдой фазы композиции порядка 85 %, соотношение Al₂O₃:SiO₂ в прокалённом материале 76,7:23,3). Изображение процесса печати и внешний вид полученных образцов представлены на рисунке 1. Использование сопла диаметром 5 мм приводит к деформации изделий при печати вследствие низкой скорости твердения слоёв. Стабильная геометрическая форма изделий достигается при использовании сопла диаметром 3 мм. Уменьшение диаметра сопла до 2,5 мм позволяет

повысить разрешение печати, однако приводит к нестабильности потока материала на начальном этапе печати из-за возрастания сил трения между материалом и экструдером.

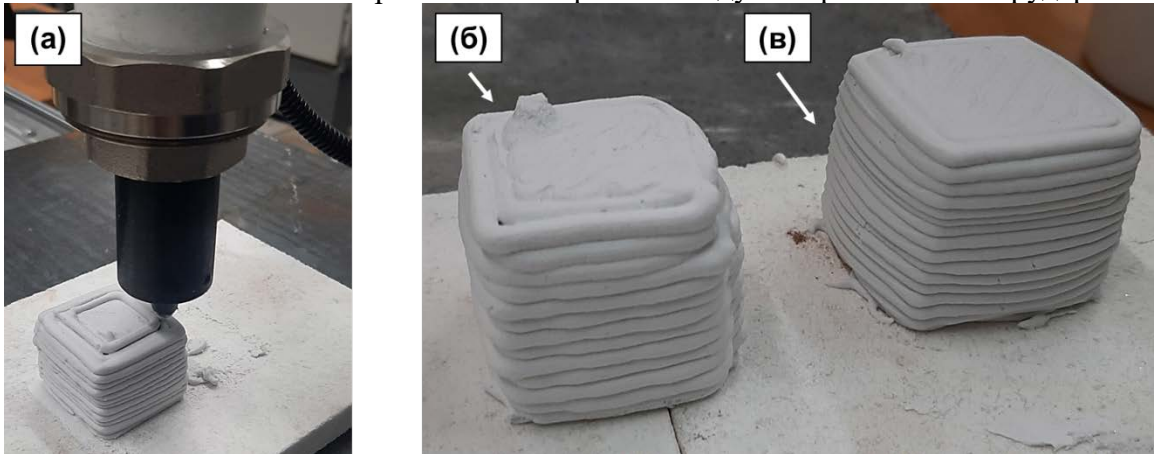


Рисунок 1. Процесс 3D-печати (а) и внешний вид кубических образцов, полученных с использованием сопла диаметром 3 мм (б) и 2,5 мм (в)

Таким образом, предложенный подход позволяет реализовать технологию 3D-печати методом DIW алюмосиликатных огнеупоров с содержанием Al_2O_3 до 76,7 % из печатных масс на основе электрокорунда на связке из ВКВС кварцевого стекла. Дальнейшие исследования должны быть направлены на оптимизацию рабочих параметров и конструкции печатающей головки 3D-принтера, а также на исследование процессов спекания и физико-механических свойств материалов, полученных с применением предложенной технологии.

Исследование выполнено за счет гранта Российского научного фонда (проект № 23-29-00471).

Список литературы

1. Dana K., Sinhamahapatra S., Tripathi H.S., Ghosh A. Refractories of Alumina-Silica System // Trans. Ind. Ceram. Soc. – 2014. – Vol. 73. – No. 1. – P. 1–13.
2. Revelo C.F., Colorado H.A. 3D printing of kaolinite clay ceramics using the Direct Ink Writing (DIW) technique // Ceram. Int. – 2018. – Vol. 44. – No. 5. – P. 5673–5682.
3. Ordoñez E., Neves Monteiro S., Colorado H.A. Valorization of a hazardous waste with 3D-printing: Combination of kaolin clay and electric arc furnace dust from the steel making industry // Mat. & Des. – 2022. – Vol. 217. – P. 110617.
4. Zhu K., Yang D., Yu Z. et al. Additive manufacturing of SiO_2 – Al_2O_3 refractory products via Direct Ink Writing // Ceram. Int. – 2020. – Vol. 46. – No. 17. – P. 27254–27261.
5. Yu Z., Yang D., Wang R. et al. Investigation on properties of Al_2O_3 – SiO_2 complex shaped refractory fabricated by layered extrusion forming // Ceram. Int. – 2020. – Vol. 46. – No. 11. – P. 18985–18993.
6. Sharafiev S.M., Kazmina O.V., Gubanov A.V. et al. Influence of Refractory Fillers on the Properties of Ceramics Based on Highly Concentrated Silica Glass Suspensions // Glass Ceram. – 2024. – Vol. 81. – No. 1–2. – P. 17–23.
7. Шарафеев Ш.М., Казьмина О.В., Губанов А.В. и др. Реологические характеристики высококонцентрированных суспензий на основе кварцевого стекла для 3D-печати огнеупорных изделий // Новые огнеупоры. – 2023. – № 11. – С. 25–30.
8. del-Mazo-Barbara L., Ginebra M.-P. Rheological characterisation of ceramic inks for 3D Direct Ink Writing: A review // J. Eur. Ceram. Soc. – 2021. – Vol. 41. – No. 16. – P. 18–33.